

تولید و بررسی خواص پوشش الکترولس کامپوزیتی Ni-P-WC-BN

احسان لالی^{۱*}، محمود محمودی^۲

۱- کارشناسی ارشد خوردگی، بخش مهندسی مواد، دانشکده مهندسی، دانشگاه شیراز، شیراز، ایران

۲- عضو هیات علمی دانشگاه آزاد اسلامی واحد شهر مجلسی، اصفهان، ایران

* Laali.Ehsan@gmail.com

(تاریخ دریافت: ۱۳۹۰/۰۳/۳۰، تاریخ پذیرش: ۱۴۰۰/۱۰/۱۰)

چکیده

تحقیقات نشان می‌دهد امروزه استفاده از تکیک رسبودهی همزمان ذرات سرامیکی در حین پروسه الکترولس Ni-P مورد توجه بسیاری قرار گرفته است. این ذرات مانند (Al_2O_3 , SiC , MoS_2 , PTFE) می‌توانند خواصی مانند مقاومت شیمیایی بالا، عدم قابلیت انحلال، پایداری حرارتی در دمای بالا، سختی بالا و قابلیت خودروانکاری در پوشش ایجاد نمایند. هدف از این تحقیق تولید، بررسی و مقایسه خواص مقاومت به خوردگی و تریبولورژیکی نظری سختی و ضربی اصطکاک پوشش‌های الکترولس کامپوزیتی Ni-P-WC-BN بر روی فولاد ساده کربنی است. در این بررسی سختی توسط دستگاه میکروسختی سنج و مقاومت به سایش توسط دستگاه پین روی دیسک اندازه‌گیری شد. ساختار و مورفولوژی سطح این پوشش‌ها نیز توسط پراش اشعه ایکس و میکروسکوپ الکترونی مورد مطالعه قرار گرفت. خواص خوردگی پوشش‌ها در محلول نمکی $\text{NaCl} ۳\%$ توسط آزمون‌های پلاریزاسیون بررسی شد. نتایج نشان داد که پوشش کامپوزیتی الکترولس Ni-P-WC-BN از سختی، ضربی اصطکاک و حتی مقاومت به خوردگی بهتری نسبت به پوشش‌های Ni-P-WC و Ni-P-BN برخوردار می‌باشد.

واژه‌های کلیدی:

پوشش الکترولس کامپوزیتی، سختی، مقاومت به سایش، مقاومت به خوردگی

۱- مقدمه

بسته به نوع ذره، می‌تواند در پوشش الکترولس کامپوزیتی دمای شدیداً پایین یا خلاً بالا می‌باشد [۷]. ذرات سرامیکی BN حاصل سبب بهبود ویژگی‌های سایشی، اصطکاکی و خوردگی گردد [۸-۱۱]. ذرات سختی نظری SiC , Al_2O_3 و SiO_2 جهت افزایش سختی و مقاومت به سایش پوشش استفاده می‌شود و ذراتی چون PTFE، گرافیت و MoS_2 بعنوان روانکار خشک با قرار گرفتن در پوشش الکترولس نیکل موجب کاهش ضربی اصطکاک و

پوشش‌های الکترولس نیکل به دلیل خواص فیزیکی و مکانیکی مناسب از جمله سختی و مقاومت به سایش بالا، مقاومت به خوردگی مناسب و ضخامت یکنواخت سبب شده که در صنایع مختلفی نظری صنایع نفت و گاز، صنایع الکترونیک، صنایع نظامی و هوافضا به طور برجسته‌ای مورد توجه قرار گیرد [۱-۷]. اما جدیدترین پیشرفت در زمینه پوشش الکترولس نیکل-فسفر رسوب‌دهی همزمان ذرات جامد در طول پوشش‌دهی است که

شرایط مذکور در جدول (۱) و (۲) استفاده گردید. H این حمام بوسیله سود ۱۵ نرمال و با استفاده از دستگاه pH متر دیجیتالی روی اعداد $4/5$ ، $5/5$ و $6/5$ تنظیم و در جریان پوشش دهی ثابت نگهداشته می‌شد. بطور کلی نمونه‌ها به مدت سه ساعت در دماهای 70 ، 80 و 90°C در داخل حمام آبکاری (بشر 25°C میلی لیتری) قرار گرفته و طی این مدت زمان، حمام مرتباً به هم زده می‌شد. به منظور معلق نگهداشتن ذرات موجود در محلول آبکاری از همزن مغناطیسی و همچنین ترکنده‌های سطح^۱ استفاده شد.

جدول (۱): شرایط حمام مورد استفاده

T	pH	هدف آزمایش
90°C (ثابت)	$5/5$ ، $4/5$ و $6/5$	مطالعه اثر pH
90°C و 80 ، 70	pH (ثابت)	مطالعه اثر دما

افزایش روانکاری پوشش می‌گردد [۱۰-۱۷]. عموماً روانکارهای جامد در مواردی مورد استفاده قرار می‌گیرد که روانکار مایع نتواند استفاده شود. این موارد شامل دمای بالا، به دلیل ساختار هگزاگونال، بعنوان یک روانکار جامد بوده ولذا پوشش الکترولیس کامپوزیتی Ni-P-BN، ضریب اصطکاک کمی دارد، لیکن پوشش حاوی این ذرات تنها در بارهای اعمالی کم کاربرد دارد [۱۸]. از طرفی ذرات WC بعنوان یکی از انواع ذرات، از لحاظ شیمیابی خنثی و همچنین سخت بوده، و پوشش الکترولیس Ni-P-WC دارای ویژگی‌هایی نظر قابلیت تحمل بار زیاد و مقاومت به خوردگی بالا می‌باشند، اگرچه قابلیت خودروانکاری خوبی ندارند [۱۶]. هدف از انجام این تحقیق تولید و بررسی خواص پوشش الکترولیس کامپوزیتی Ni-P-WC-BN می‌باشد، چرا که رسوب همزمان این دو ذره کامپوزیتی سبب تولید پوشش کامپوزیتی با مجموع مزایا گشته و می‌تواند موجب بهبود ویژگی‌های سایشی، اصطکاکی و خوردگی پوشش گردد.

۲- مواد و روش تحقیق

در تحقیق حاضر از ورقه‌های فولاد ساده کربنی به ابعاد $50\text{mm} \times 15\text{mm} \times 2\text{mm}$ بعنوان زیرلايه استفاده شد. قبل از هر گونه عملیات آبکاری روی نمونه فلزی، می‌بایستی عملیات آماده‌سازی سطح انجام شود به طوری که پوشش به خوبی روی آن بشیند. برای رسیدن به این هدف، باید یک یا چند عمل آماده‌سازی به منظور پاک کردن آلودگی‌های سطح، و فعال‌سازی آن انجام شود. جهت آماده‌سازی به ترتیب عملیات سنباده‌زنی، پولیش، قرار دادن نمونه‌ها و شستشو دادن آن‌ها در استون توسط دستگاه آلتراسونیک به مدت ۱۵ دقیقه، قلیاشوی در محلول سود در دمای 60°C به مدت ۳ تا ۵ دقیقه، جریزدایی الکترولیتی در درجه 80°C و در نهایت فعال‌سازی سطح زیرلايه در محلول 50% اسید سولفوریک انجام شد. سپس برای ترسیب پوشش‌های کامپوزیتی Ni-P-BN، Ni-P-WC و Ni-P-BN بر روی نمونه‌ها از حمامی با ترکیب شیمیابی و Ni-P-WC-BN

پیش از قرار دادن نمونه‌ها در حمام، ابتدا حمام آبکاری در داخل یک ظرف بزرگ‌تر پر از آب با دمای مورد نظر، قرار می‌گرفت تا به دمای لازم برسد و در آن موقع نمونه‌هایی که فعال شده بودند، در داخل حمام قرار می‌گرفتند. در نهایت نمونه‌ها از حمام خارج و به مدت 60 - 120 ثانیه درون آب مقطر قرار گرفته و سپس در هوا خشک می‌شدند. برای انجام آزمایشات، نمونه‌ها توسط یک نخ ابریشمی در داخل حمام آبکاری آویزان شدند. در تمام آزمایشات حجم محلول مورد استفاده 150 میلی لیتر نگهداشته می‌شد. برای اینکار سعی شد با استفاده از پارافیلم از تبخیر محلول حمام جلوگیری شود، هر چند، میزان تبخیر حمام در زمان‌های مورد آزمایش چندان قابل توجه نبود و تأثیر زیادی روی نتایج آزمایش نداشت. همچنین برای جلوگیری از رفیق شدن ترکیب حمام آبکاری، هر حمام آبکاری فقط برای یک نمونه به کار برد شد. اندازه ذرات BN و WC بکاربرده شده در پوشش میکرونی بود. نحوه توزیع ذرات کامپوزیتی و

حاصله توسط دستگاه پتانسیواستات/گالوانو استات Auto-Lab و به کمک آزمون پتانسیو دینامیک در محدوده پتانسیل -۰/۲۵-۰/۱۰V+ نسبت به پتانسیل مدار باز با سرعت روبش ۰/۵mV/sec در محلول ۳ درصد وزنی NaCl مورد بررسی قرار گرفت. در تمام آزمون‌های خوردگی از الکترود کالومل به عنوان الکترود مرجع برای گزارش مقادیر پتانسیل و از الکترود کربنی به عنوان الکترود شمارنده جریان استفاده شد. آنالیز نتایج آزمون‌های پلاریزاسیون و منحنی‌های تافل توسط نرم افزار GPES4.9 انجام شد. تاثیر عملیات حرارتی که به مدت یک ساعت و در دمای ۴۰۰°C انجام گرفت، نیز بررسی گردید.

مورفولوژی پوشش توسط میکروسکوپ نوری و میکروسکوپ الکترونی رویشی (SEM) مورد بررسی قرار گرفت. سختی پوشش‌ها براساس روش اندازه‌گیری سختی ویکرز توسط دستگاه سختی‌سنج KOOPA MH1 با اعمال نیروی عمودی ۵۰ گرم و مدت زمان اعمال نیرو ۱۵ ثانیه بر روی نمونه‌هایی با ضخامت تقریبی ۴۵ میکرون مورد سنجش قرار گرفت. آزمون سایش به روش پین روی دیسک و در دمای اتاق انجام شد. سرعت چرخش برای تمام نمونه‌ها ۶۰ RPM و نیروی اعمالی ۲۵ نیوتن بود. برای محاسبه نرخ سایش هر نمونه در دو مرحله، یکی پیش از شروع آزمون سایش و دیگری پس از آن، بعد از طی مسافت ۲۵۰ متر، توزین شد. مقاومت به خوردگی پوشش‌های

جدول (۲): ترکیب حمام مورد استفاده

Ni-P-WC-BN	Ni-P-BN	Ni-P-WC	Ni-P	پوشش	ترکیب
۳۰	۳۰	۳۰	۳۰	سولفات نیکل (g/l)	
۲۰	۲۰	۲۰	۲۰	هیپوفسفیت سدیم (g/l)	
۳۰	۳۰	۳۰	۳۰	سولفات آمونیم (g/l)	
۳۰	۳۰	۳۰	۳۰	استات سدیم (g/l)	
۵-۱۵	-	۵-۱۵	-	پودر WC (g/l)	
۵-۱۵	۵-۱۵	-	-	پودر BN (g/l)	
۰/۱۲	۰/۱۲	۰/۱۲	-	ترکنده‌های سطح	

حضور و توزیع یکنواخت ذرات در پوشش‌ها را نشان داده که این امر ناشی از دو عامل است، یکی استفاده از ترکنده‌های سطح و دیگری استفاده از همزن مغناطیسی حین فرآیند پوشش دهی می‌باشد.

X-۲-۳- نتایج آنالیز اشعه
شکل‌های (۲-الف) و (۲-ب) الگوی XRD پوشش اعمالی Ni-P و Ni-P-BN-WC را قبل از عملیات حرارتی نشان می‌دهد. این نوع الگوی XRD نشان دهنده حضور ساختار آمورف در پوشش‌ها قبل از عملیات حرارتی است. این مسئله در تحقیقات دیگر هم نشان داده شده است [۸-۱۸]. علاوه بر آن، این نتایج وجود ذرات WC و BN را اثبات می‌کند. مقایسه پراش‌های

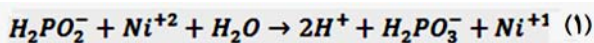
۳- نتایج و بحث

در این قسمت به بررسی و تشریح نتایج به دست آمده از این تحقیق پرداخته می‌شود.

در این رابطه خواص پوشش Ni-P و پوشش‌های کامپوزیتی Ni-P-WC-BN و Ni-P-WC که به روش الکترولیس بر روی زیر لایه فولاد ساده کربنی ایجاد شدند، مورد بررسی و مقایسه قرار می‌گیرد.

۳-۱- تصاویر و مورفولوژی سطحی پوشش‌های تولید شده
تصاویر میکروسکوپ الکترونی رویشی از سطح پوشش‌های کامپوزیتی Ni-P-BN، Ni-P-WC و Ni-P-WC-BN که بترتیب در شکل‌های (۱-الف)، (۱-ب) و (۱-ج) نشان داده شده،

واکنش‌های اصلی طی فرایند الکتروولس است، به سمت راست پیش می‌رود و در نتیجه تشکیل پوشش راحت‌تر صورت می‌گیرد.



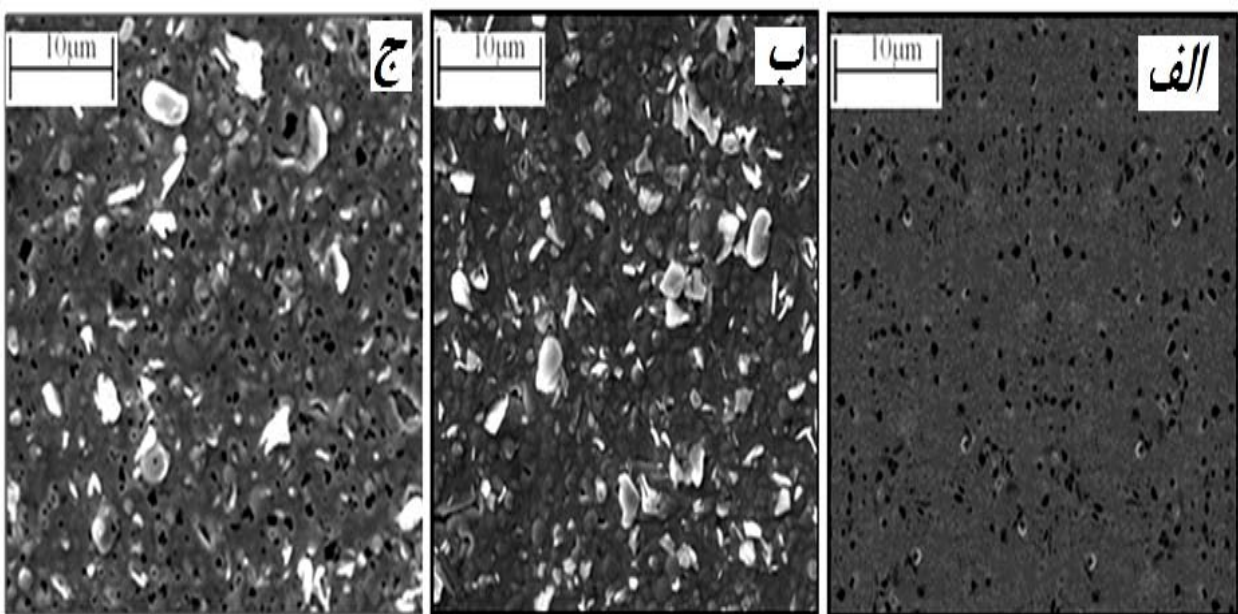
۴-۳- تأثیر دما بر روی سرعت پوشش دهی ترکیب کامپوزیتی Ni-P-WC-BN

شکل (۴) تأثیر دمای حمام پوشش دهی بر ضخامت پوشش و سرعت پوشش دهی ترکیب کامپوزیتی Ni-P-WC-BN، در pH برابر با ۶/۱ و مدت زمان پوشش دهی سه ساعت را نشان می‌دهد. تأثیر دما بر سرعت پوشش دهی همانند تأثیر pH می‌باشد، به طوری که با افزایش دمای حمام سرعت پوشش دهی، ضخامت پوشش زیاد می‌گردد. در فرایند الکتروولس واکنش‌های زیادی مانند واکنش (۱) رخ می‌دهد که تمامی این واکنش‌ها با اعمال انرژی خارجی فعال می‌گردند و بدون افزایش دما هیچ یک رخ نخواهد داد. بنابراین هرچه دمای حمام بالاتر باشد، واکنش‌ها راحت‌تر رخ می‌دهد و لذا سرعت پوشش دهی بالا می‌رود [۴-۳].

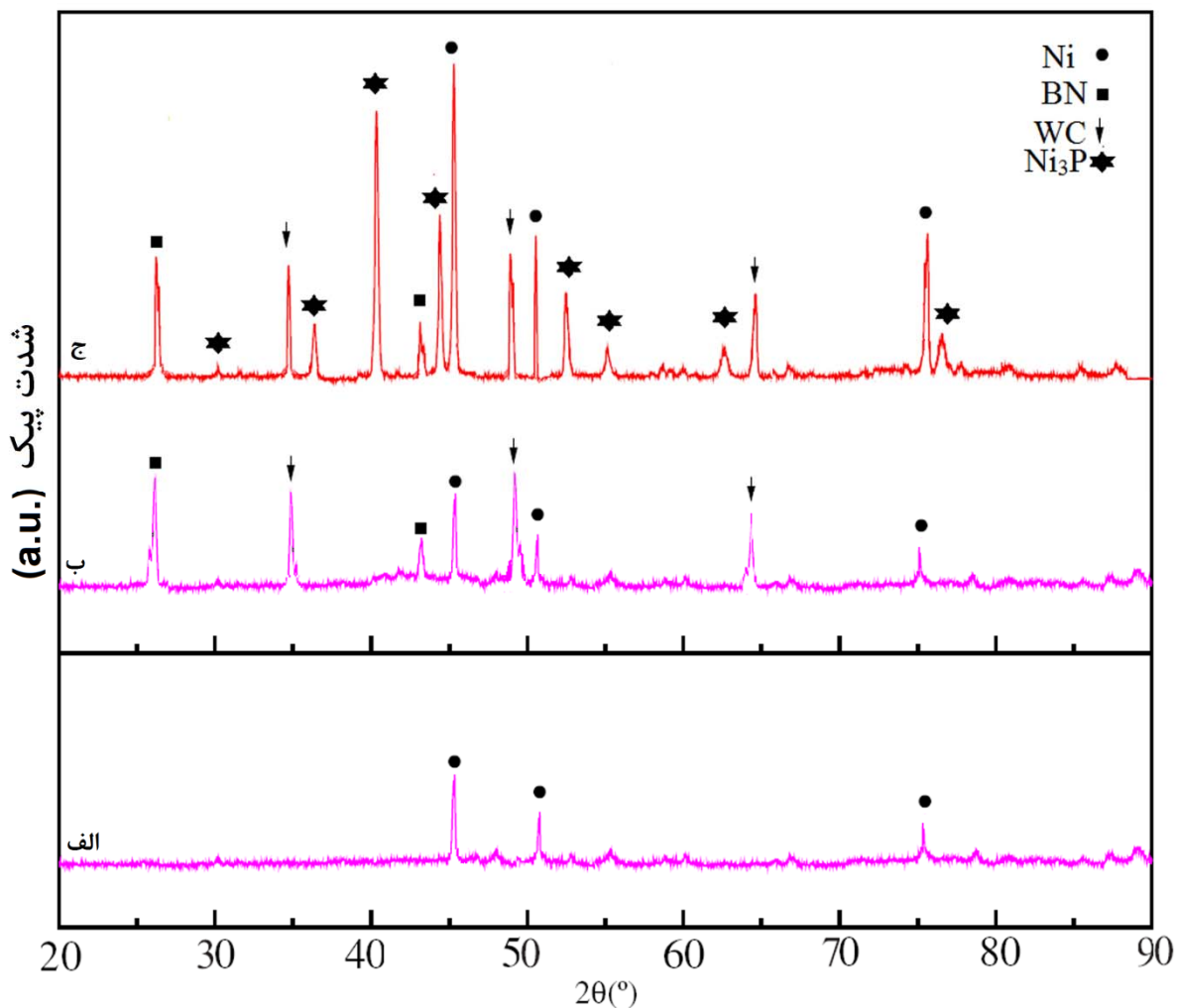
حاصله در شکل‌های (۲-الف) و (۲-ب) نشان دهنده عدم تأثیر گذاری ذرات بر ساختار پوشش Ni-P می‌باشد. الگوی XRD پوشش اعمالی Ni-P-BN-WC بعد از عملیات حرارتی در شکل (۲-ج) آمده است و نشان می‌دهد که پوشش الکتروولس کامپوزیتی Ni-P-BN-WC از حالت آمورف به کربستالی تغییر ساختار داده است چرا که زمینه این پوشش در اثر انجام عملیات حرارتی به مخلوطی از فاز نیکل و فاز سخت Ni₃P تبدیل شده است.

۴-۳- تأثیر pH بر سرعت پوشش دهی ترکیب کامپوزیتی Ni-P-WC-BN

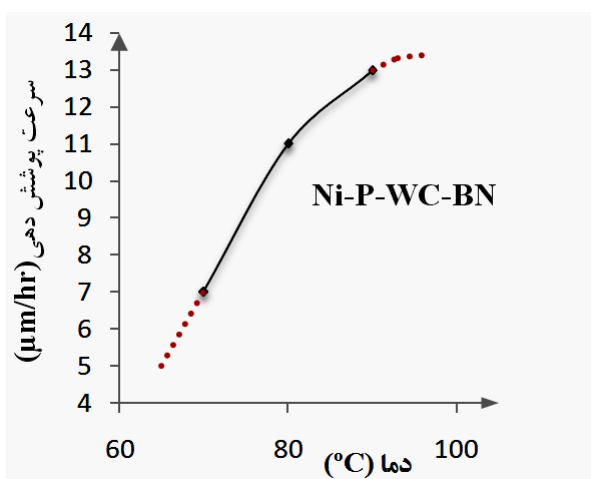
تأثیر pH بر سرعت پوشش دهی ترکیب الکتروولس کامپوزیتی Ni-P-WC-BN، در دمای ۹۰°C و مدت زمان پوشش دهی سه ساعت، در شکل (۳) آمده است. همان‌طور که دیده می‌شود، افزایش میزان pH سبب افزایش سرعت پوشش دهی می‌گردد. این افزایش pH سبب افزایش قدرت احیای هیپوفسفیت سدیم که یک احیاکننده است، می‌شود، در واقع با افزایش pH میزان غلظت H⁺ کاهش می‌یابد و لذا واکنش (۱) که یکی از



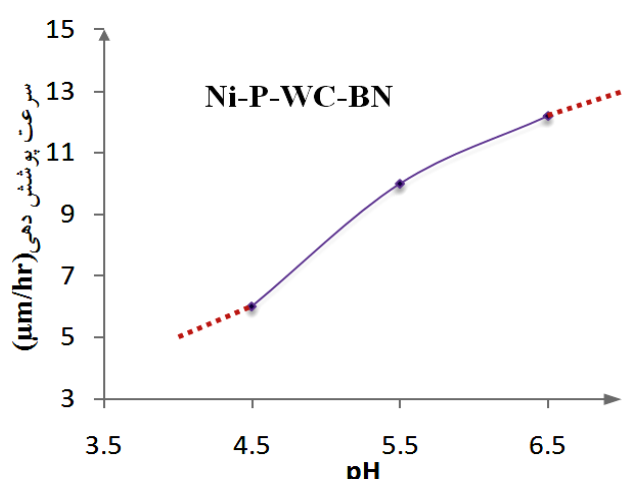
شکل (۱): تصاویر SEM از سطح پوشش‌های کامپوزیتی: (الف) Ni-P-WC، (ب) Ni-P-BN و (ج) Ni-P-BN-WC



شکل (۲): الگوی XRD پوشش اعمالی (الف) و (ب) Ni-P-BN-WC قبل از عملیات حرارتی و (ج) بعد از عملیات حرارتی



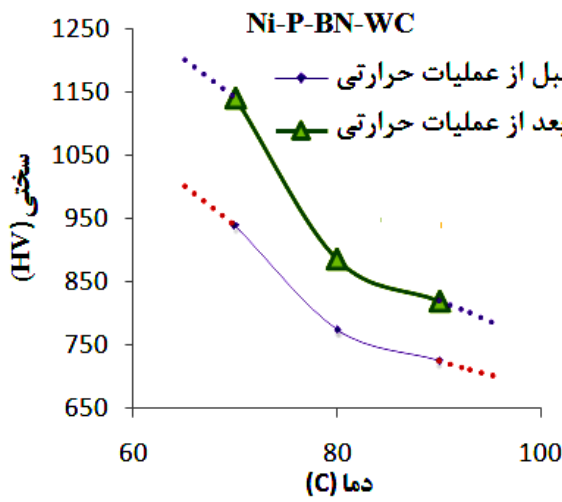
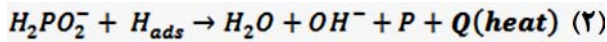
شکل (۴): تأثیر دمای حمام بر سرعت پوشش دهی Ni-P-WC-BN در 90°C pH= ۶/۱



شکل (۳): تأثیر pH بر سرعت پوشش دهی Ni-P-WC-BN در دمای 90°C

۶-۳- تأثیر دما بر سختی پوشش الکتروولس کامپوزیتی Ni-P-WC-BN

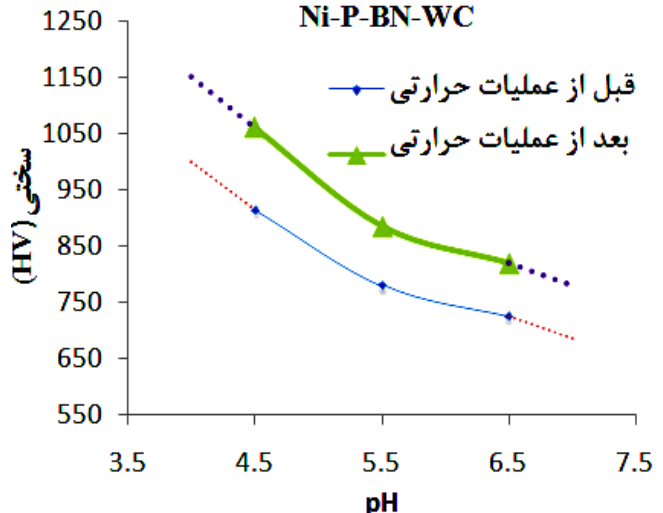
شکل (۶) تأثیر دما را بر سختی پوشش Ni-P-WC-BN در pH برابر با ۶/۱ قبل و بعد از عملیات حرارتی نشان می‌دهد. با توجه به دیاگرام غیرتعادلی نیکل-فسفر [۱۹]، افزایش درصد فسفر، افزایش میزان سختی پوشش Ni-P را به همراه دارد. این نکته نیز واضح و مبرهن است که افزایش دما، واکنش (۲) را در جهت عکس پیش می‌برد که این مساله منجر به کاهش درصد فسفر در پوشش Ni-P-WC-BN می‌گردد. لذا در pH ثابت، با کاهش درصد فسفر میزان سختی پوشش کاهش می‌یابد. شکل ۶ تأثیر یکسان افزایش دما بر سختی پوشش Ni-P-WC-BN قبل و بعد از عملیات حرارتی را نشان می‌دهد. همچنین نشان می‌دهد که در یک pH و دمای ثابت میزان سختی با عملیات حرارتی افزایش می‌یابد.



شکل (۶): تأثیر دما بر سختی پوشش Ni-P-WC-BN در pH برابر با ۶/۱

۳-۵- تأثیر pH بر سختی پوشش الکتروولس کامپوزیتی Ni-P-WC-BN

شکل (۵) تأثیر pH را بر سختی پوشش Ni-P-WC-BN در دمای ۹۰°C قبل و بعد از عملیات حرارتی نشان می‌دهد. با توجه به دیاگرام غیرتعادلی نیکل-فسفر [۱۹]، افزایش درصد فسفر، افزایش میزان سختی پوشش Ni-P را به همراه دارد. این نکته نیز واضح و مبرهن است که افزایش pH، واکنش (۲) را در جهت عکس پیش می‌برد که این مساله منجر به کاهش درصد فسفر در پوشش Ni-P-WC-BN می‌گردد. لذا در دمای ثابت، با کاهش درصد فسفر، میزان سختی پوشش کاهش می‌یابد. شکل (۵) تأثیر یکسان افزایش pH بر سختی پوشش Ni-P-WC-BN قبل و بعد از عملیات حرارتی را نیز نشان می‌دهد. همچنین نشان می‌دهد که در یک pH و دمای ثابت، میزان سختی با عملیات حرارتی افزایش می‌یابد.

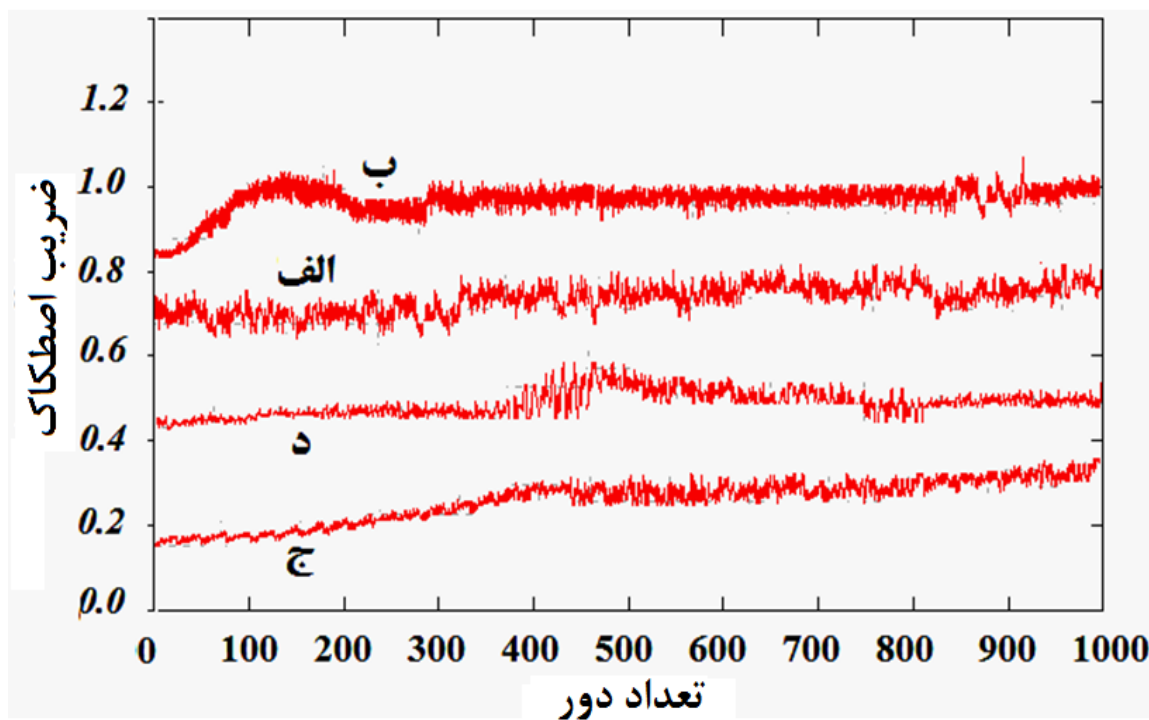


شکل (۵): تأثیر pH بر سختی پوشش Ni-P-WC-BN در دمای ۹۰°C

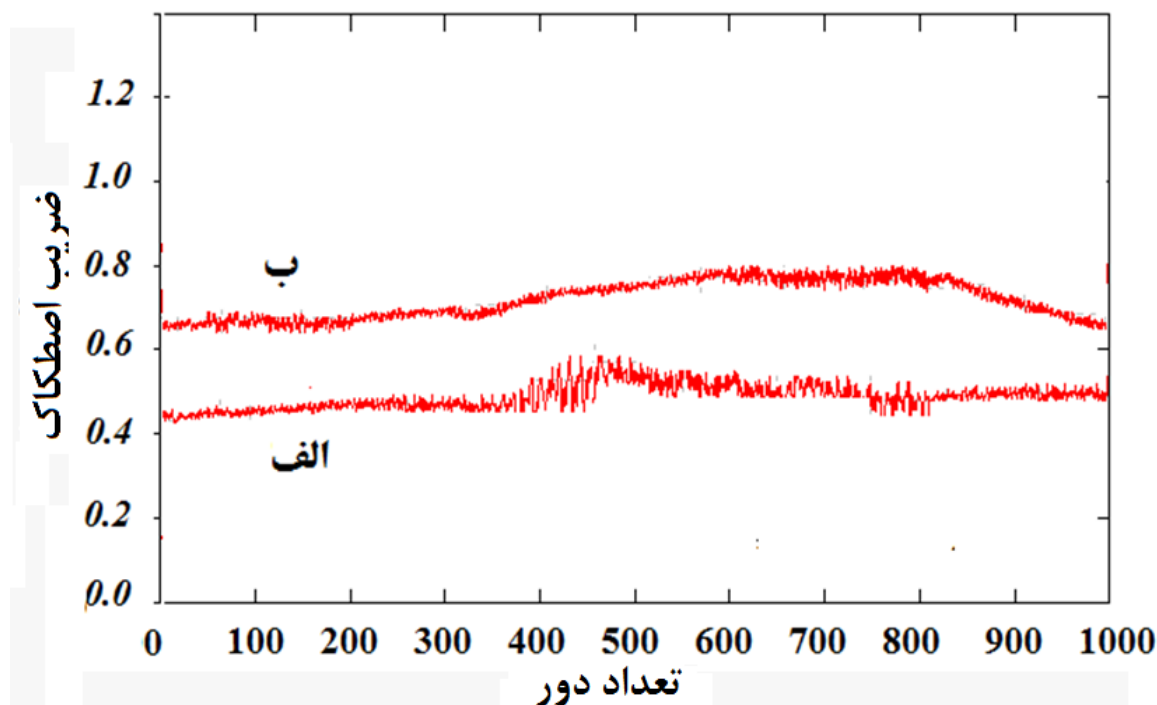
قبل و بعد از عملیات حرارتی انجام گرفته است که نشان می‌دهد به دلیل تشکیل فاز سخت فسفات، ضریب اصطکاک افزایش یافته است. در جدول ۳ و ۴ نیز مقایسه‌ای بین نرخ سایش و سختی پوشش‌های کامپوزیتی قبل و بعد از عملیات حرارتی صورت گرفته است. با توجه به نتایج می‌توان اثر افزودن ذرات سخت کننده WC را در کاهش نرخ سایش و افزایش سختی پوشش‌ها مشاهده نمود. افزودن ذرات خودروانکار BN به پوشش اگرچه سبب کاهش ضریب اصطکاک پوشش‌ها می‌شود اما از دیگر نرخ سایش و کاهش سختی پوشش‌ها را نیز به همراه دارد. انجام عملیات حرارتی نیز به دلیل ایجاد تغییر ساختاری در پوشش الکتروولس و تشکیل فاز سرامیکی و سخت Ni_3P ، سبب افزایش سختی و کاهش نرخ سایش می‌شود.

۷-۲ نتایج آزمون سایش

شکل (۷) ضریب اصطکاک پوشش‌های Ni-P-BN، Ni-P-BN-WC و Ni-P-WC را به صورت تابعی از تعداد دور نشان می‌دهد. به دلیل وجود ذرات سخت کننده WC پوشش‌های Ni-P-WC دارای بیشترین ضریب اصطکاک می‌باشد. در صورتی که افزودن ذرات BN به ماتریکس سبب کاهش شدید و قابل توجه ضریب اصطکاک می‌شود که علت این مساله را باید در خصوصیت ذاتی خودروانکاری ذرات BN جستجو کرد. نکته دیگری که می‌توان به آن اشاره کرد این است که ضریب اصطکاک پوشش $Ni-P-BN-WC$ که شامل دو ذره‌ی سخت کننده و خودروانکار است، بین ضریب اصطکاک پوشش‌های Ni-P-BN و Ni-P-WC می‌باشد. در شکل (۸) مقایسه‌ای بین نمودار ضریب اصطکاک پوشش



شکل (۷): ضریب اصطکاک پوشش‌های: (الف) Ni_3P ، (ب) $Ni-P-BN$ ، (ج) $Ni-P-WC$ و (د) $Ni-P-BN-WC$



شکل (۸): ضریب اصطکاک پوشش Ni-P-BN-WC (الف) قبل و (ب) بعد از عملیات حرارتی

جدول (۴): مقایسه بین سختی پوشش‌ها قبل و بعد از عملیات حرارتی

جدول (۳): مقایسه بین سختی پوشش‌ها قبل و بعد از عملیات حرارتی

نرخ سایش ($10^{-3} \text{mm}^3 \text{m}^{-1}$)		پوشش	سختی (ویکرز)		پوشش
بعد از عملیات حرارتی	قبل از عملیات حرارتی		بعد از عملیات حرارتی	قبل از عملیات حرارتی	
۰/۰۰۱۱	۰/۰۲۰۹	Ni-P	۶۴۸	۵۲۴	Ni-P
۰/۰۰۰۲	۰/۰۰۳۴	Ni-P-WC	۹۹۶	۹۰۳	Ni-P-WC
۰/۰۷۰۱	۰/۱۳۰۴	Ni-P-BN	۷۲۳	۶۵۱	Ni-P-BN
۰/۰۰۲۴	۰/۰۴۵۱	Ni-P-WC-BN	۸۵۴	۷۵۲	Ni-P-WC-BN

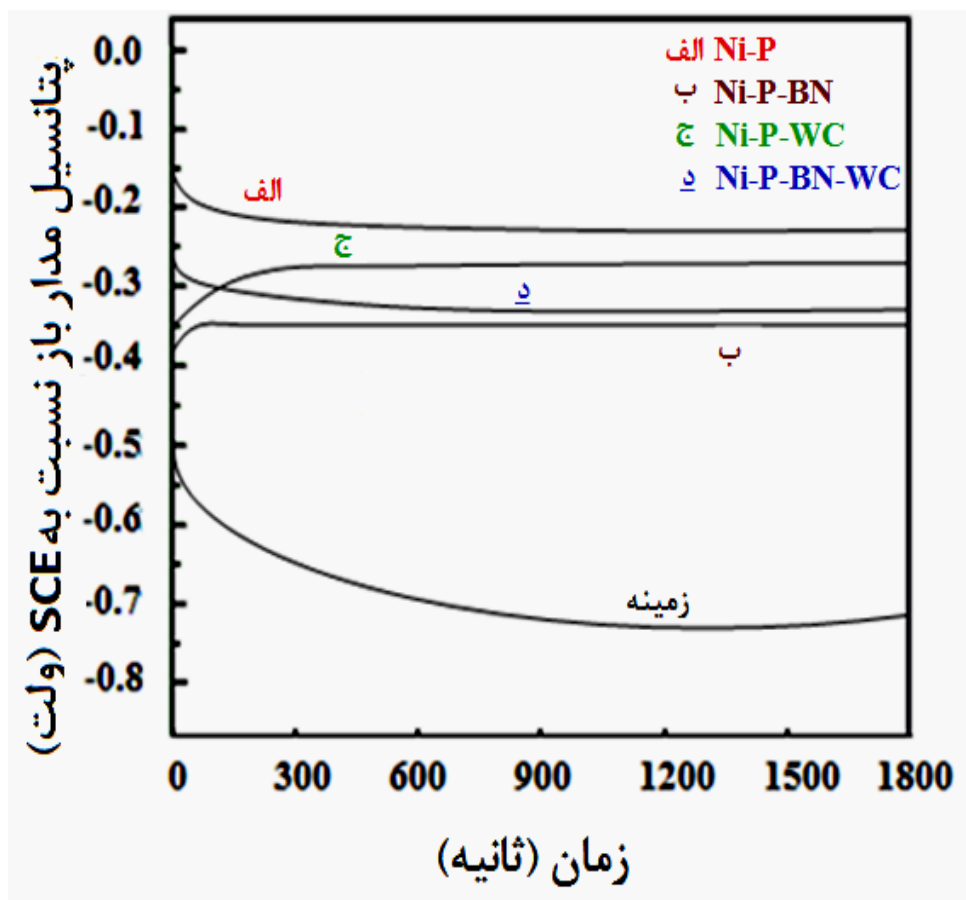
۸-۳- نتایج آزمون خوردگی

نمونه‌های پوشش داده شده دارای پتانسیل سطح^۱ بالاتری نسبت به زمینه بدون پوشش هستند که نشان از بهبود حفاظت آندی نمونه‌های پوشش داده در محیط نمکی $3\% \text{NaCl}$ دارد. البته

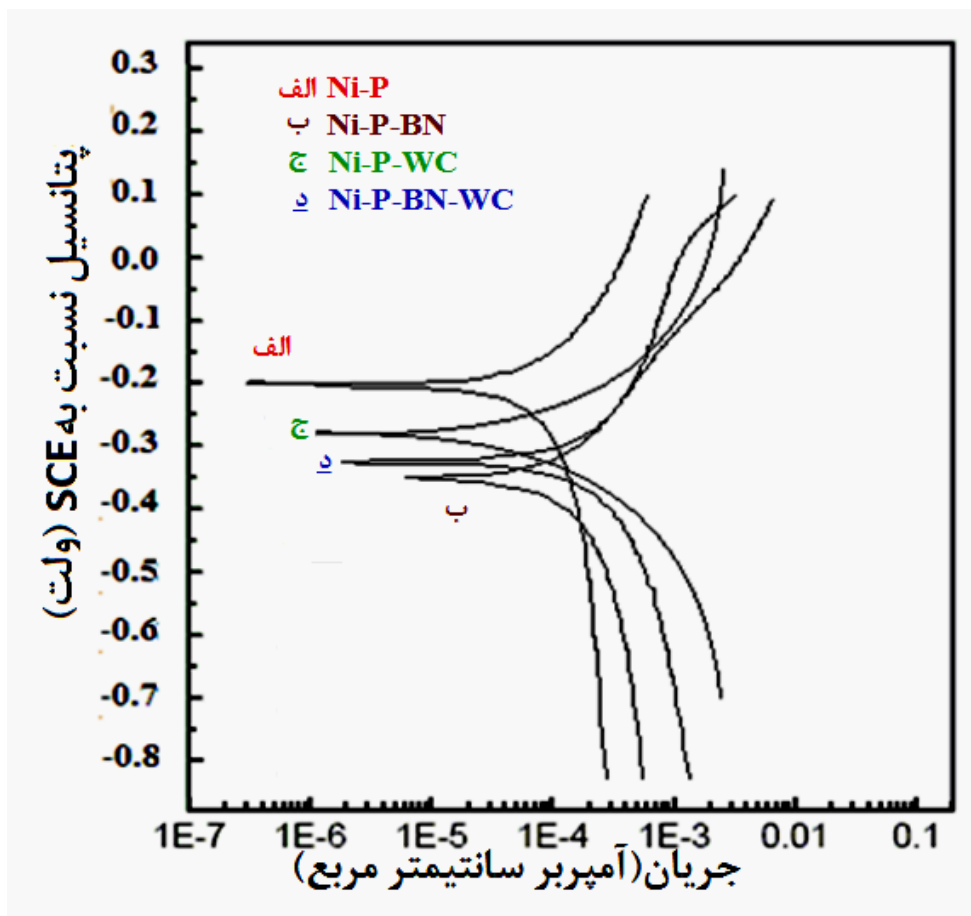
با توجه به شکل (۹) که پتانسیل مدار باز را برای خود زمینه (فولاد ساده کربنی) و پوشش‌های Ni-P-BN، Ni-P-WC، Ni-P و WC نشان می‌دهد، می‌توان نتیجه گرفت که همه

زیادی بازدارنده‌های همزمان رسوب کرده است که مقاومت خوردگی و غیرفعال شدن پوشش را کاهش می‌دهد. همچین این ذرات می‌توانند ایجاد کننده‌ی ترک باشند که این ترک‌ها مکان‌هایی برای خوردگی می‌شوند. این ذرات زوج گالوانیکی قوی با زمینه پوشش تولید می‌کنند که خوردگی را سرعت می‌بخشد. شکل (۱۰) نشان می‌دهد که افزودن ذرات BN خیلی بیشتر از ذرات WC سبب کاهش مقاومت خوردگی می‌شود، علت این امر می‌تواند تفاوت در خواص الکتروشیمیایی و تفاوت در پتانسیل سطحی دو ذره باشد. این امر سبب شده است که مقاومت به خوردگی پوشش Ni-P-BN-WC مایین مقاومت به خوردگی دو پوشش Ni-P-BN و Ni-P-WC قرار گیرد.

در این محلول نمونه‌های با پوشش کامپوزیتی دارای پتانسیل مدار باز کمتری نسبت به نمونه Ni-P هستند. نکته دیگر اینکه پوشش‌ها پتانسیل سطح نسبتاً پایداری دارند که نشان دهنده‌ی وجود پوشش‌های همگن است. مقایسه‌ای از نمودارهای پلاریزاسیون پوشش‌های Ni-P، Ni-P-BN، Ni-P-WC و Ni-P-BN-WC در شکل (۱۰) آمده است که بیانگر این نکته است که وجود پوشش تا حد زیادی سبب بهبود مقاومت به خوردگی فولاد ساده کربنی می‌شود که علت آن قطع ارتباط فولاد ساده کربنی از محیط توسط پوشش است. نکته دیگر اینکه در پوشش‌های کامپوزیتی، وجود ذرات سبب کاهش مقاومت به خوردگی می‌شود. چرا که زمینه این پوشش‌ها حاوی مقادیر



شکل (۹): پتانسیل مدار باز پوشش‌های: الف) Ni-P، ب) Ni-P-BN، ج) Ni-P-WC و د) Ni-P-BN-WC



شکل (۱۰): نمودارهای LPR پوشش‌های (الف) Ni-P، (ب) Ni-P-BN، (ج) Ni-P-WC و (د) Ni-P-BN-WC

۴-نتیجه‌گیری

۵-پوشش کامپوزیتی الکترولیس Ni-P-WC-BN دارای سختی، ضریب اصطکاک، نرخ سایش و حتی مقاومت به خوردگی بین پوشش‌های Ni-P-WC و Ni-P-BN می‌باشد.

۱-استفاده از ترکنده سطح مناسب و همزن مغناطیسی حین پروسه پوشش دهی، سبب توزیع یکنواخت ذرات سرامیکی در پوشش‌های کامپوزیتی Ni-P-BN، Ni-P-WC و Ni-P-BN-WC می‌شود.

۵-مراجع

- [1] W. Riedel, "Electroless Nickel Plating", ASM International, Metals Park, Ohio, USA, pp.15-180, 1991.
- [2] M. Schlesinger, "Electroless Deposition of Nickel", John Wiley and Sons, Inc, Canada, pp. 667-690, 2000.
- [3] Q. Zhao, Y. Liu, H. Müller-Steinhagen, G. Liu, Graded "Ni-P-PTFE Coatings and Their Potential Applications", Surface and Coating Technology, Vol. 155, pp. 279-284, 2002.

۲-در اثر عملیات حرارتی، پوشش کامپوزیتی Ni-P-BN-WC از حالت آمورف به کریستالی تغییر ساختار داده است.

۳-افزایش میزان pH در دمای ثابت و همچنین افزایش دما در pH ثابت، سبب افزایش سرعت پوشش دهی می‌گردد.

۴-میزان سختی با افزایش دما در pH ثابت و یا افزایش pH در دمای ثابت، زیاد می‌گردد.

- [13] Yating Wu, Hezhou Liu, Bin Shen, Lei Liu, Wenbin Hu, "The Friction and Wear of Electroless Ni-P Matrix with PTFE and/or SiC particles composite", *Tribology International*, Vol. 39, pp. 553-559, 2006.
- [14] Yating Wu, Bin Shen, Lei Liu, Wenbin Hu, "The Tribological Behaviour of Electroless Ni-P-Gr-SiC Composite", *Wear*, Vol. 261, pp. 201–207, 2006.
- [15] O.A. Leo'n a, M.H. Staia b, H.E. Hinterman, "Wear Mechanism of Ni-P-BN (h) Composite Autocatalytic Coatings", *Surface & Coatings Technology*, Vol. 200 pp. 1825 – 1829, 2005.
- [16] Z. Abdel Hamid a, S.A. El Badry b, A. Abdel Aal, "Electroless Deposition and Characterization of Ni-P-WC Composite Alloys", *Surface & Coatings Technology*, Vol 201, pp. 5948–5953, 2007.
- [17] S.M. Moonirvaghefi, A. Saatchi, J. Hejazi, "The Effect of Agitation on Electroless Nickel-Phosphorus-Molybdenum Disulfide Composite Plating", *Metal Finishing*, pp. 102-106, 1997.
- [18] Ovidio A. Leo'n, Mariana H. Staia, Hans E. Hintermann, "Deposition of Ni-P-BN(h) Composite Autocatalytic Coatings", *Surface and Coatings Technology*, Vol 108, pp. 461-465, 1998.
- [19] ASM Handbook, "Alloy Phase Diagrams", ASM International, Materials Park, Ohio, Vol. 3, p.282, 1990.
- [4] Y.Gao, Z.J. Zheng, M. Zhu, C.P. Luo, Corrosion Resistance of Electrolessly Deposited Ni-P and Ni-W-P Alloys with Various Structures, *Material Science and Engineering A*, Vol. 381, pp. 98–103, 2004.
- [5] A. Abdel Aal, Z.I. Zaki, Z. Abdel Hamid, Novel Composite Coatings Containing (TiC-Al₂O₃) Powder, *Material Science and Engineering A*, Vol. 447, pp 95-103, 2007.
- [6] C.Y. Huang, W.W. Mo, M.L. Roan, "Studies on the Influence of Double-Layer Electroless Metal Deposition on the Electromagnetic Interference Shielding Effectiveness of Carbon Fiber/ABS Composites", *Surfface and Coating Technolgy*, Vol. 184, pp.163-165, 2004.
- [7] M. Ratzker, D.S. Lashmore, K.W. Pratt, "Plating Surface Finish", pp. 73-74, 1986.
- [8] I. Apachitei, F.D. Tichelaar, J. Duszczyk, L. Katgerman, "The Effect of Heat Treatment on the Structure and Abrasive Wear Resistance of Autocatalytic NiP and NiP-SiC Coatings", *Surfface and Coating Technolgy*, Vol. 149, pp. 263-264, 2002.
- [9] A. Grosjean, M. Rezrazi, "Hardness, Friction and Wear Characteristics of Nickel-SiC Electroless Composite Deposits", *Surfface and Coating Technolgy*, Vol. 137, pp. 92–96, 2001.
- [10] S. Alirezai, S.M. Monirvaghefi, M. Salehi, A. Saatchi, "Wear Behavior of Ni-P and Ni-P-Al₂O₃ Electroless Coatings", *Wear*, Vol. 262, pp. 978-980, 2007.
- [11] S.M. Moonirvaghefi, A. Saatchi, "Tribological behaviour of electroless Ni-P-MoS₂", *Metallkd*, Vol. 88, pp. 498–501, 1997.
- [12] Y.T. Wu, L. Lei, B. Shen, W.B. Hu, "Investigation in Electroless Ni-P-Cg (graphite)-SiC Composite Coating", *Surface & Coatings Technology*, Vol. 201, pp. 441-445, 2006.

۶- پی نوشت

- 1- Surfactant**
2- Surface potential